

Fig. 1A

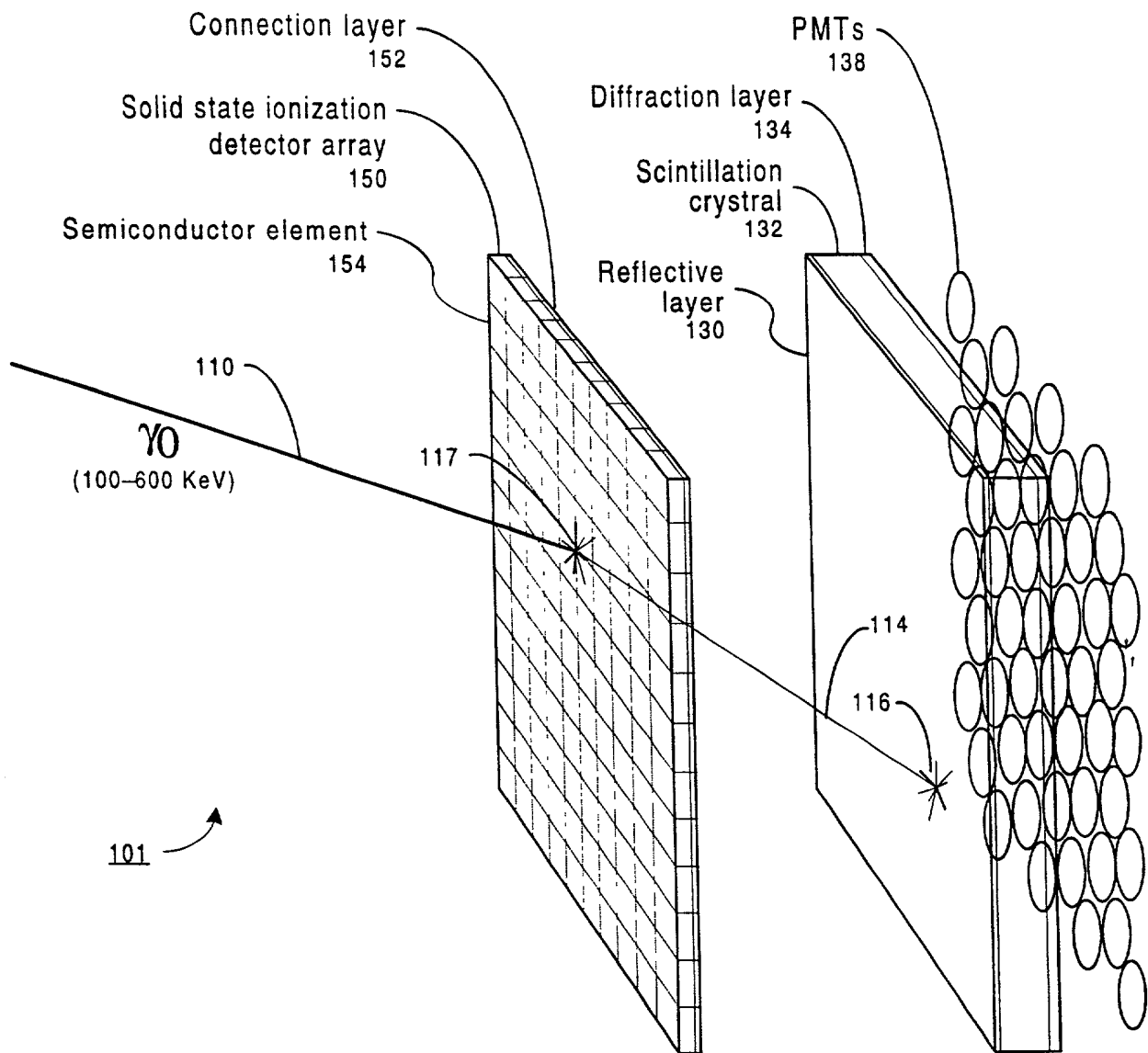


Fig. 1B

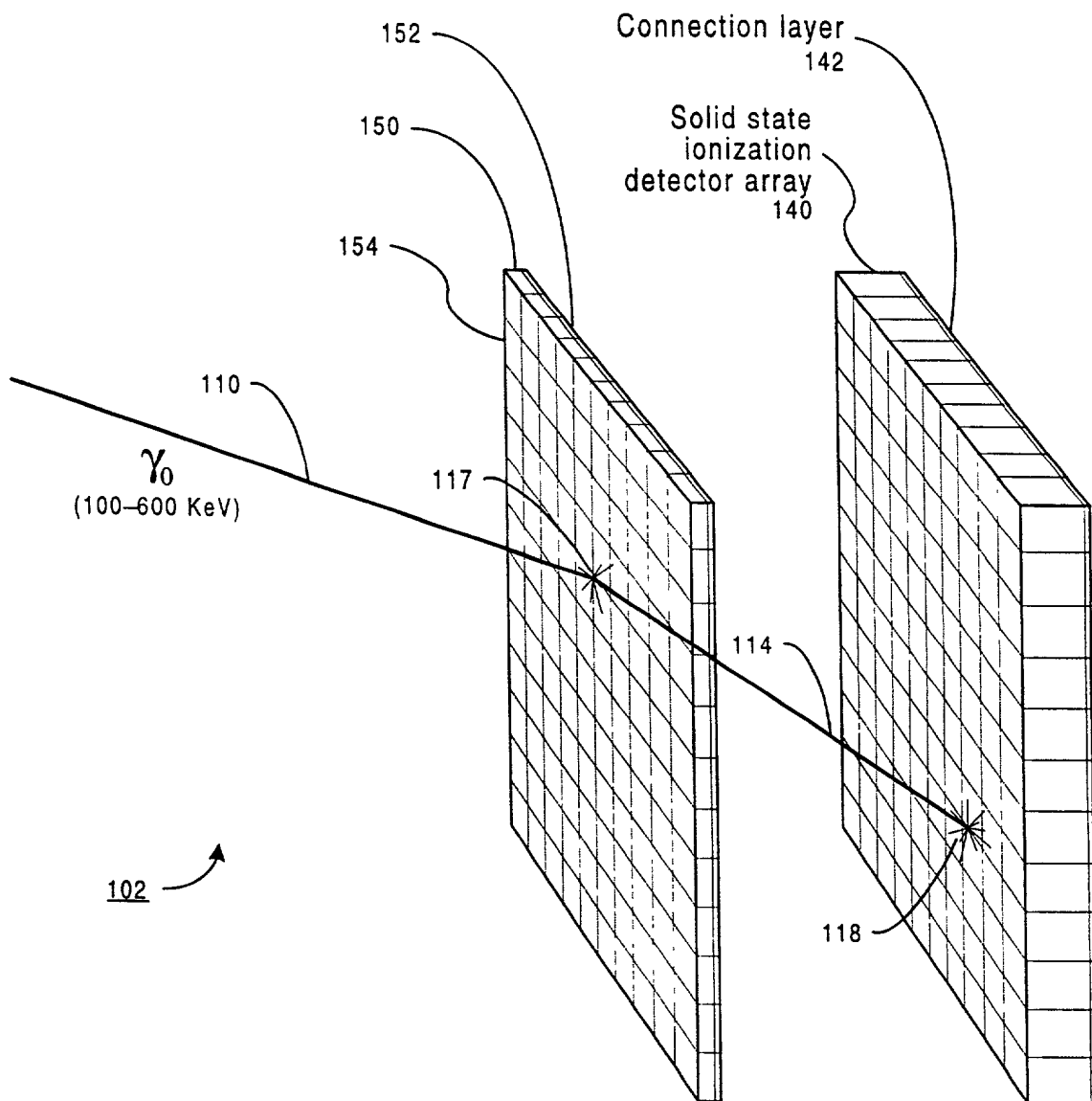


Fig. 1C

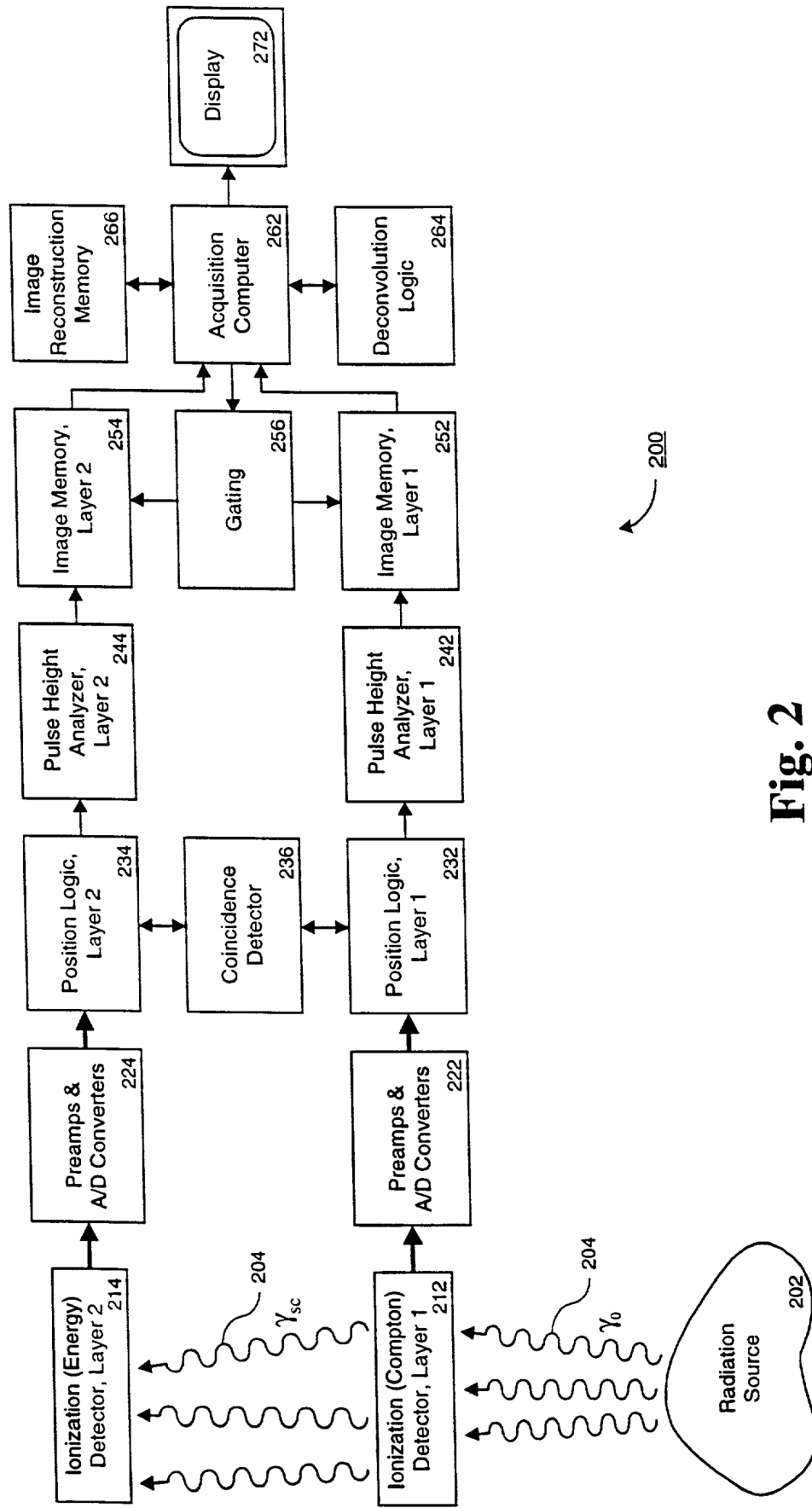


Fig. 2

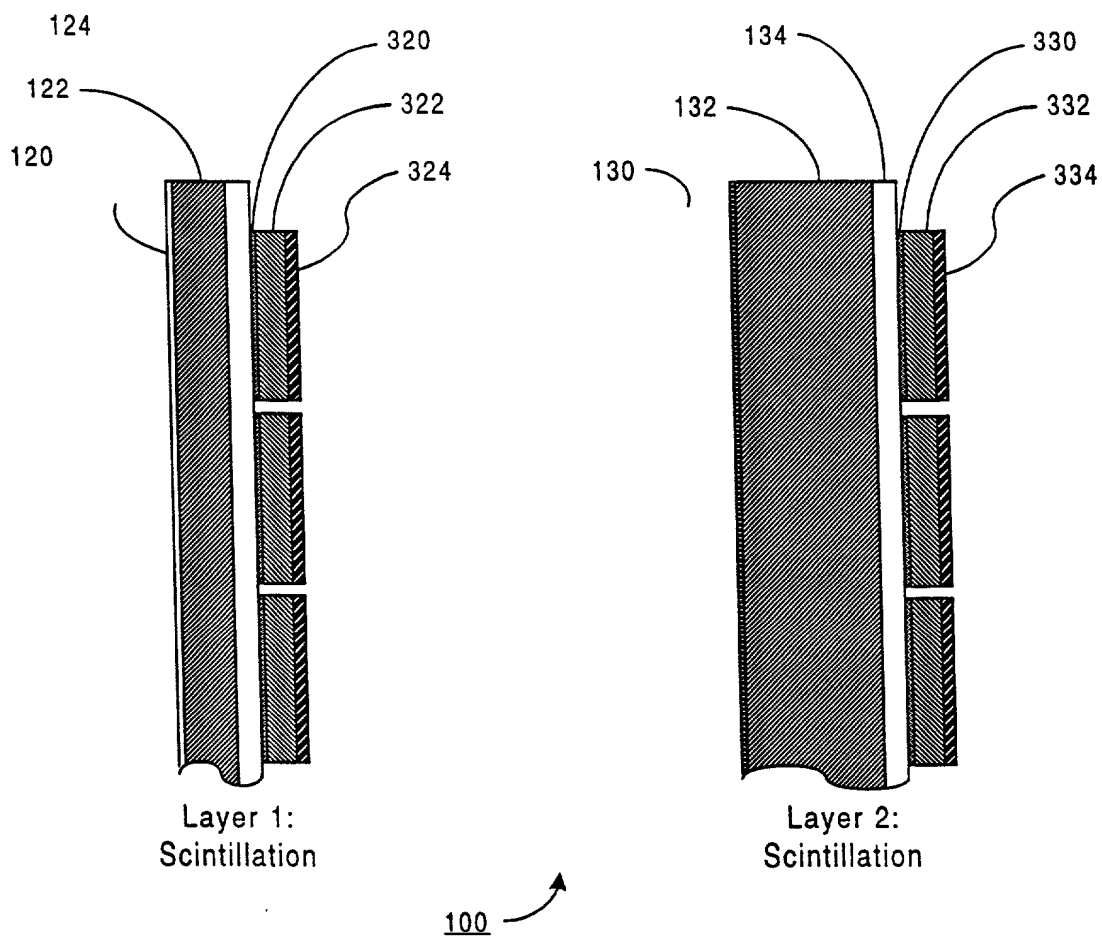


Fig. 3A

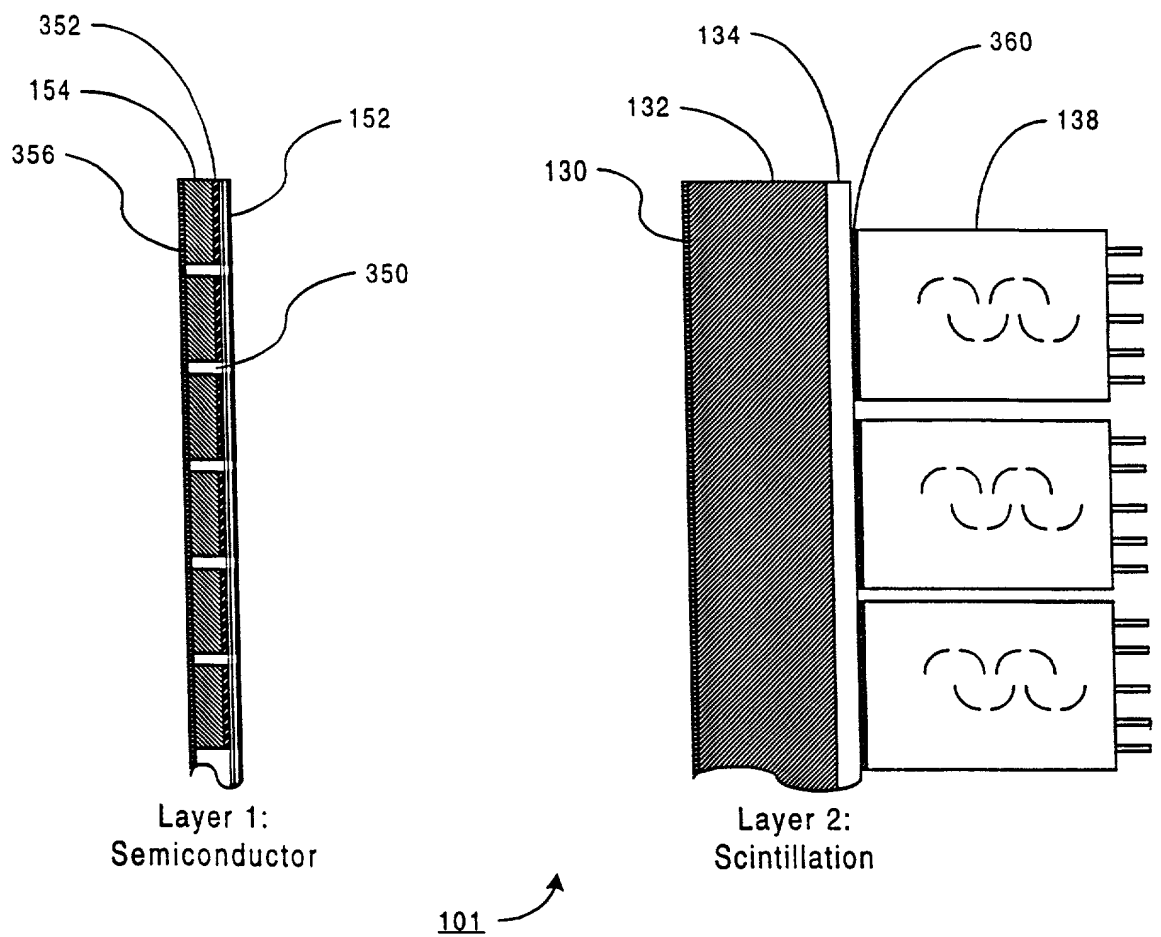
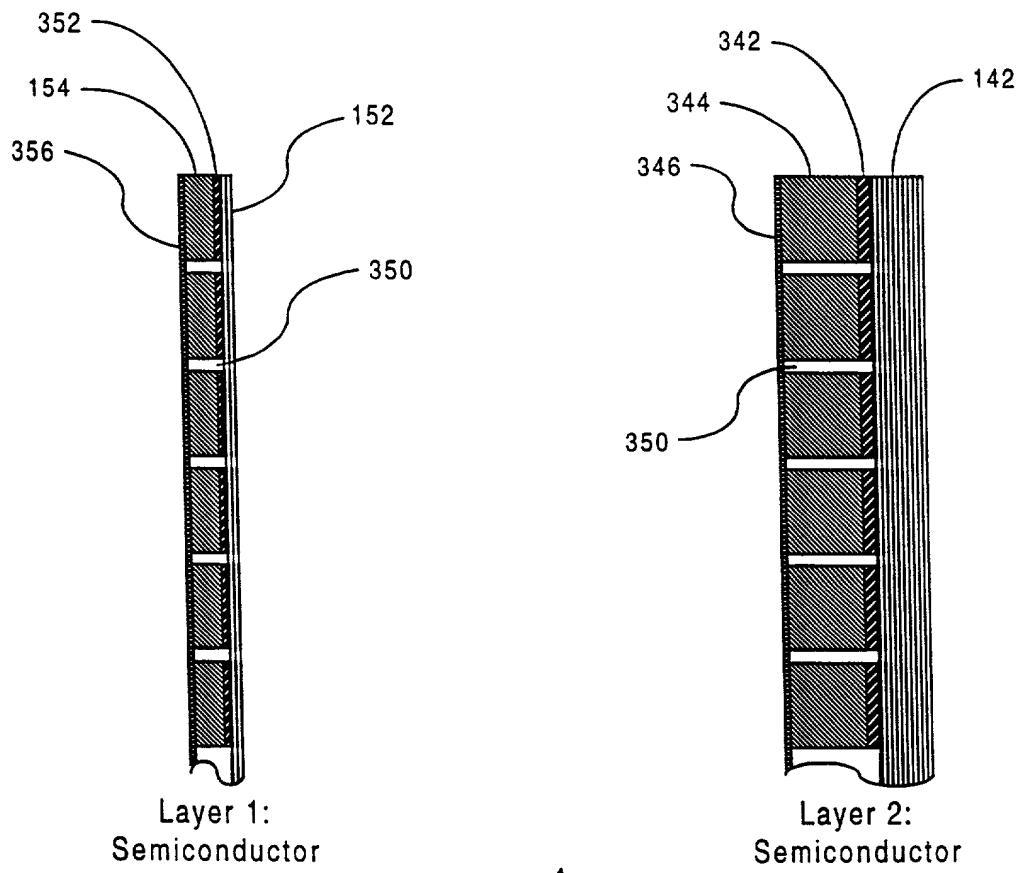


Fig. 3B



102

Fig. 3C

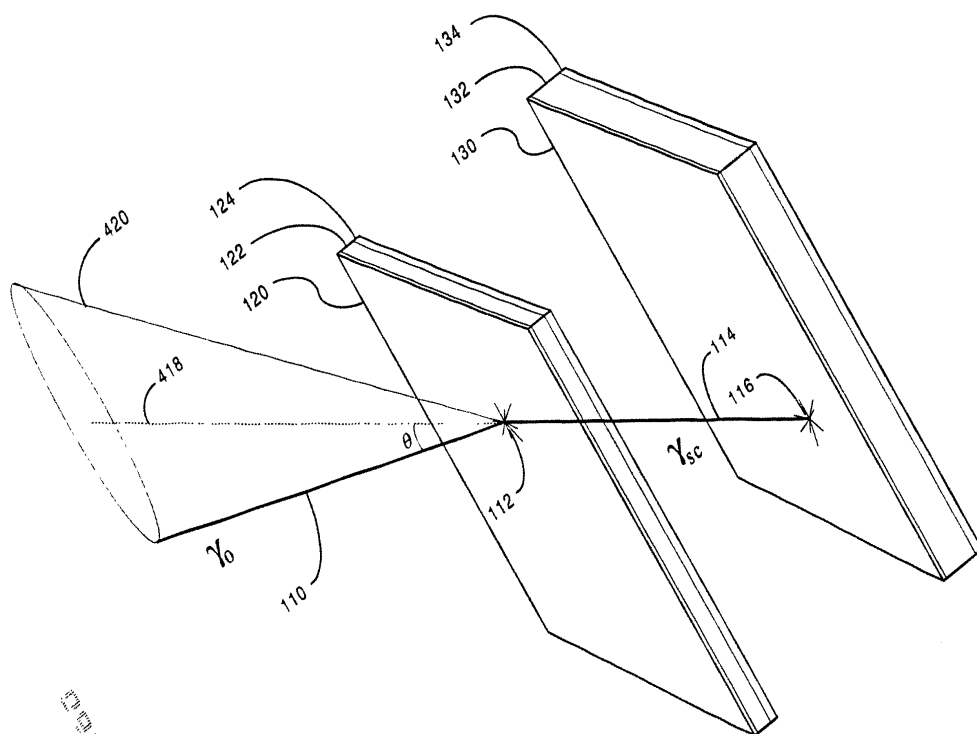


Fig. 4A

2025-03-03-0001

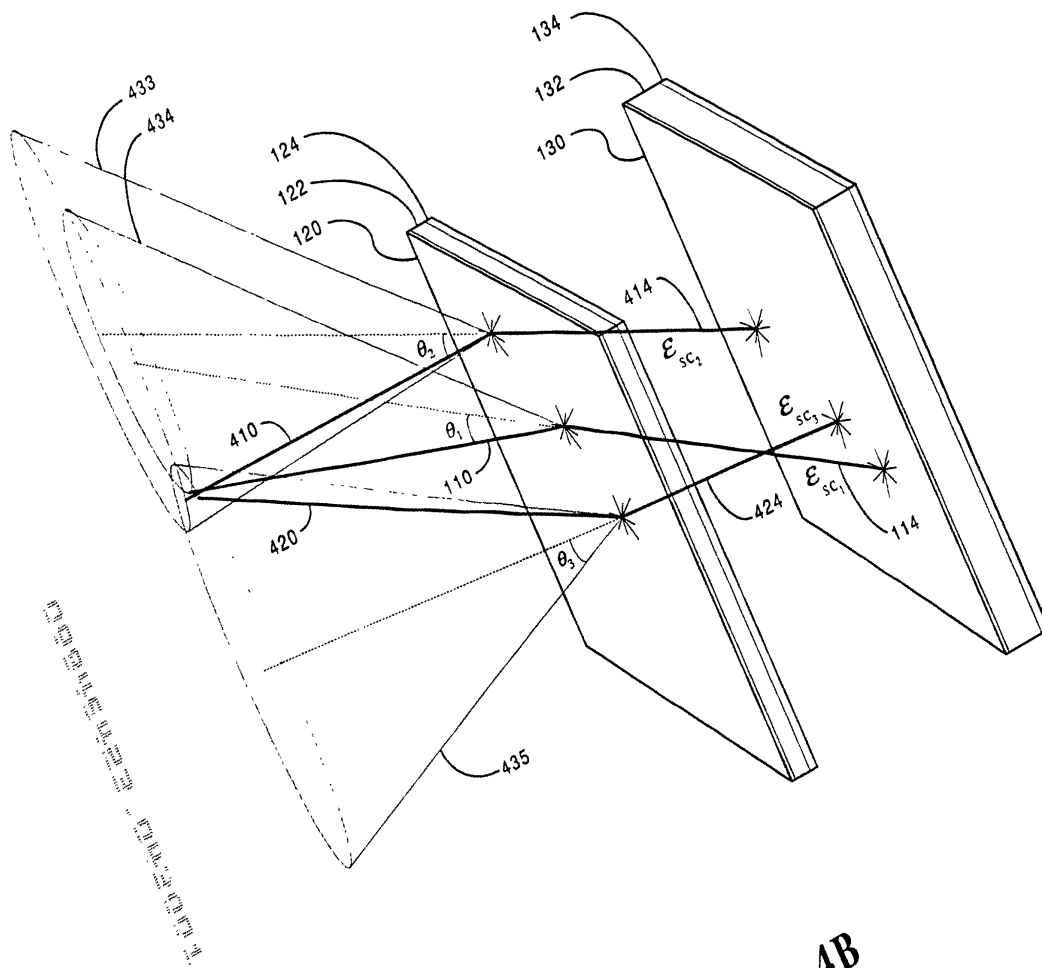


Fig. 4B

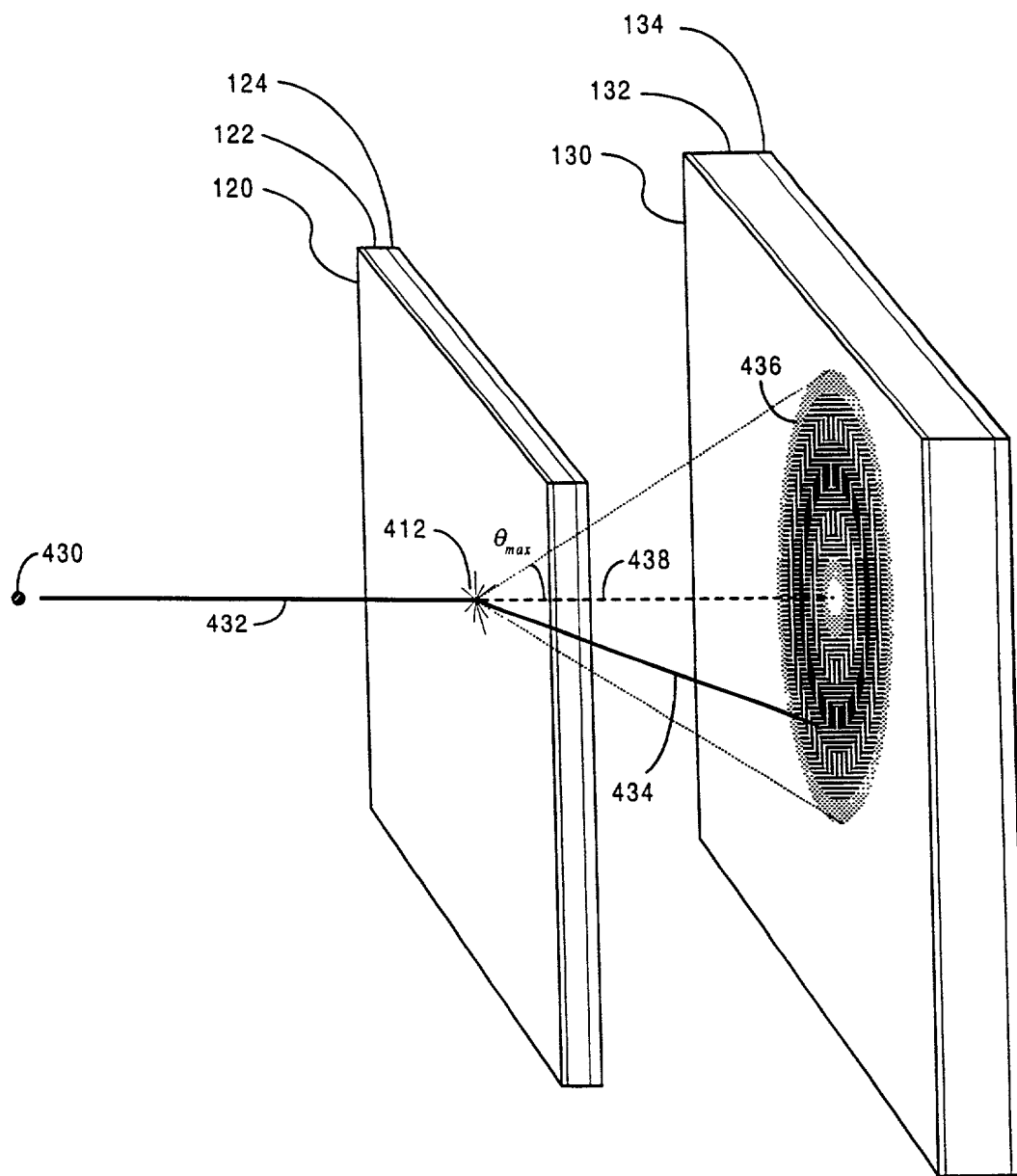


Fig. 4C

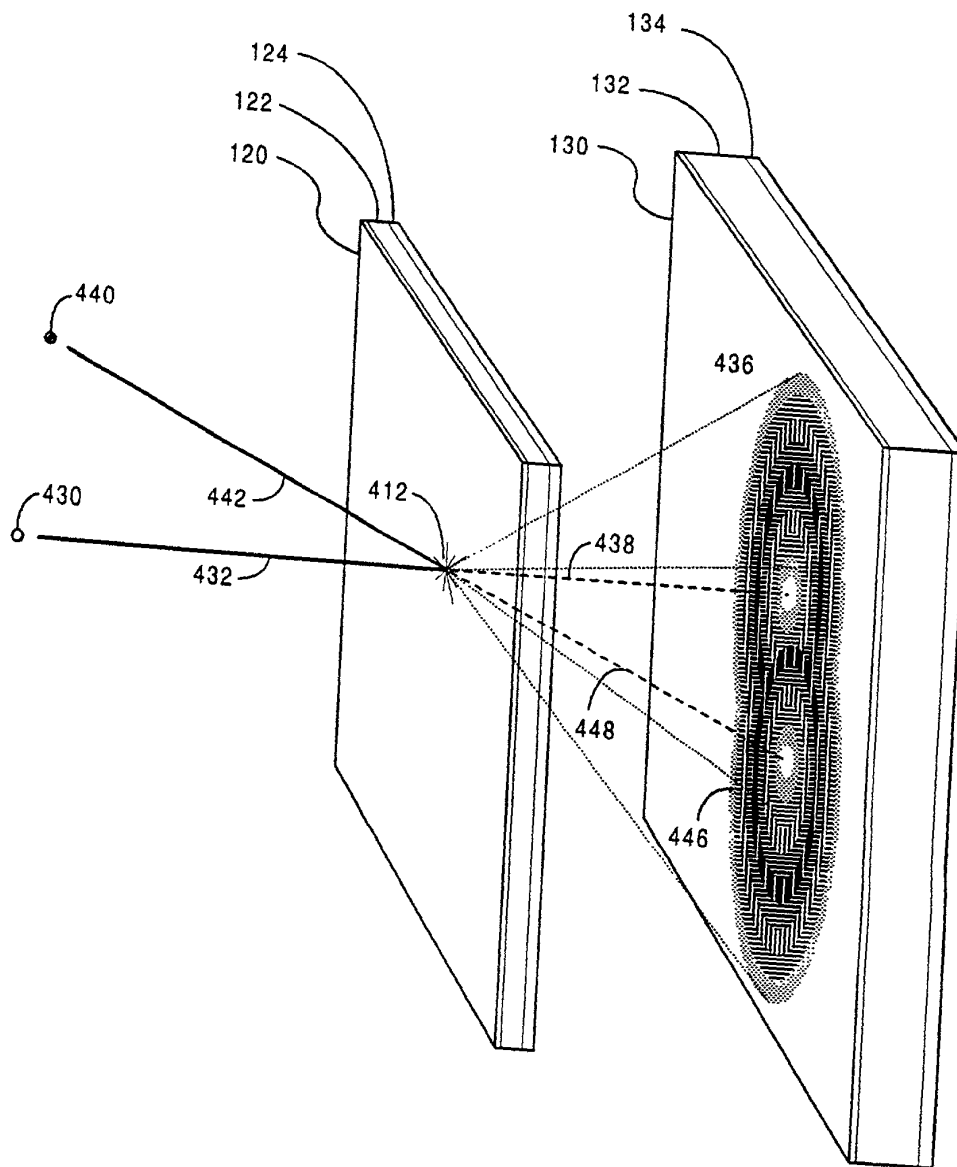


Fig. 4D

FIG. 4E

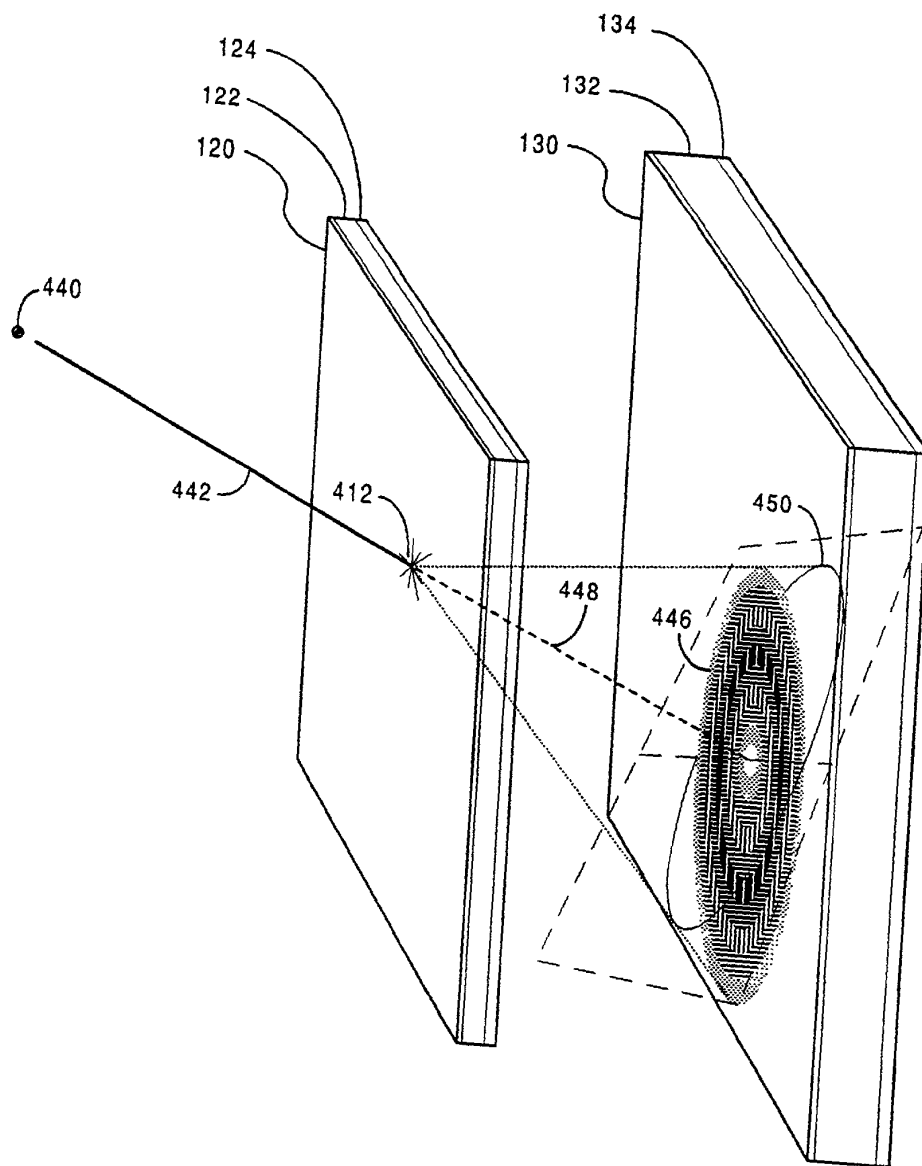


Fig. 4E

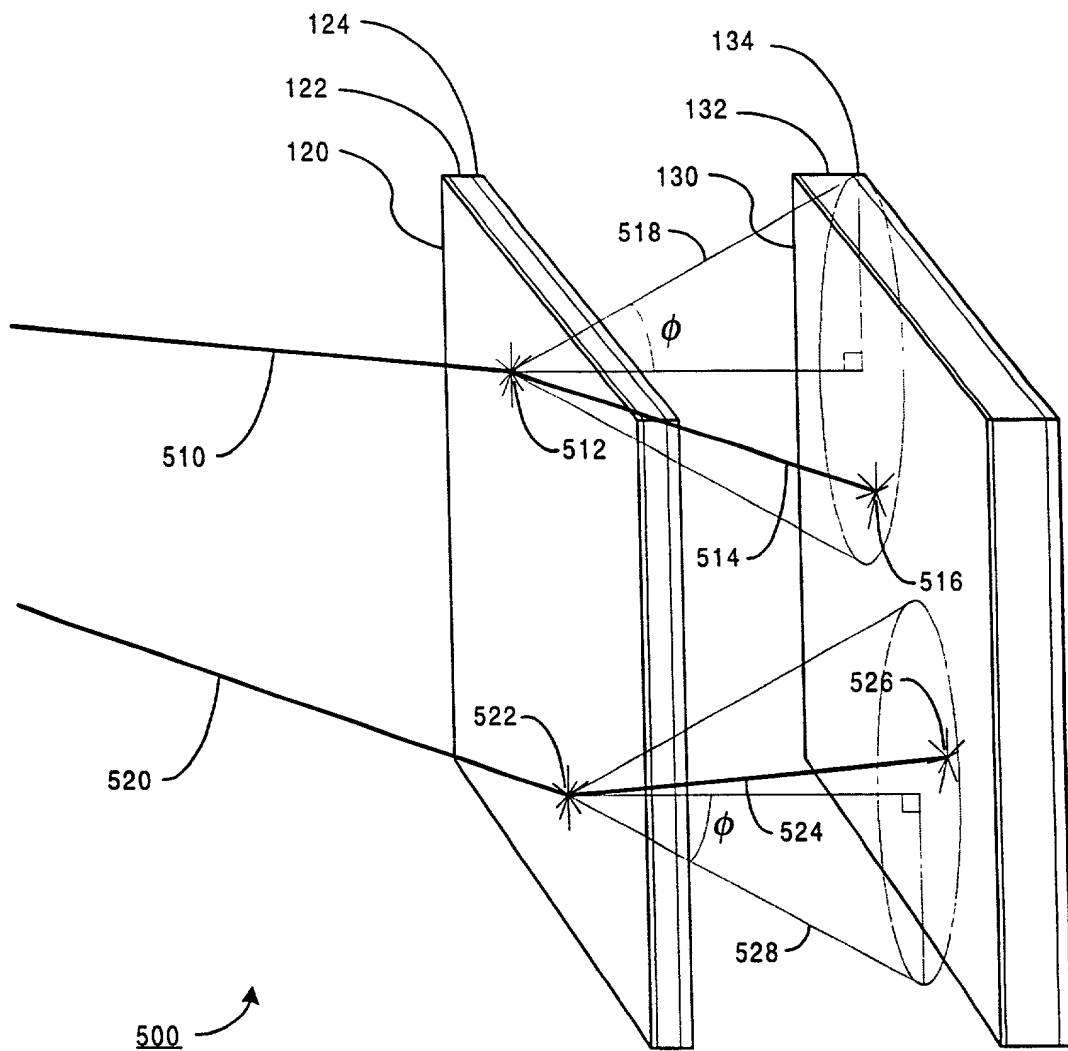


Fig. 5

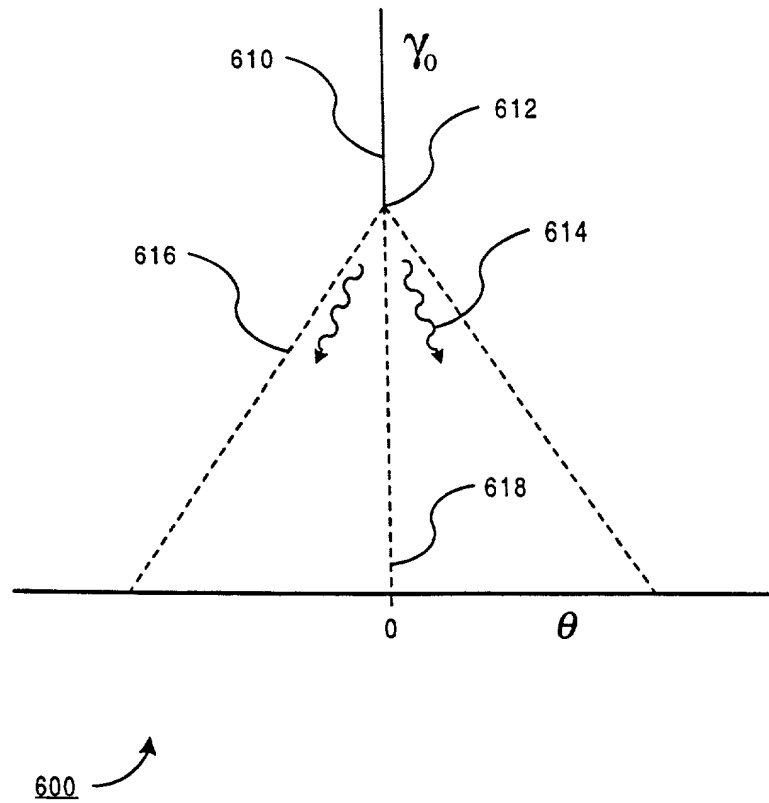


Fig. 6A

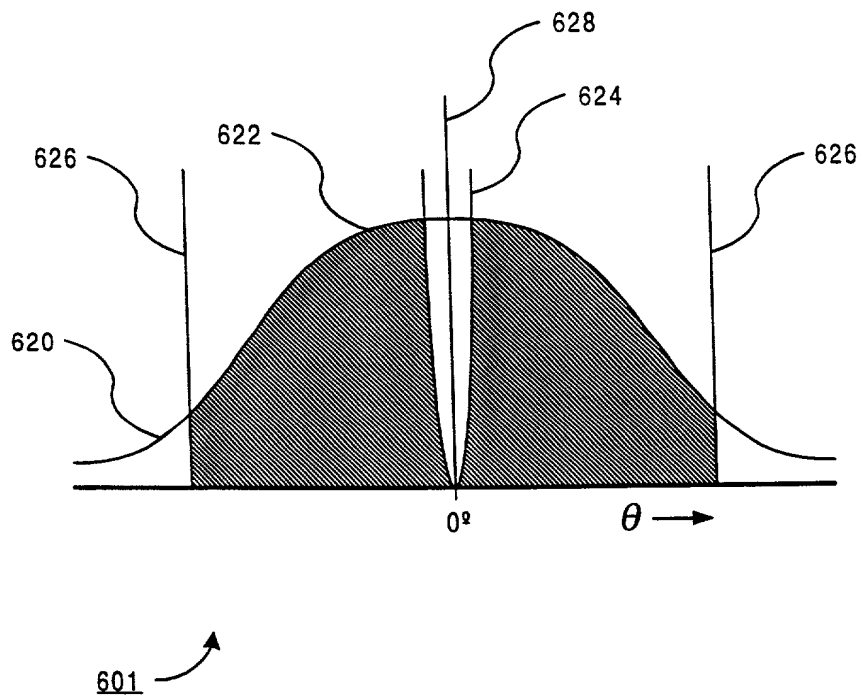


Fig. 6B

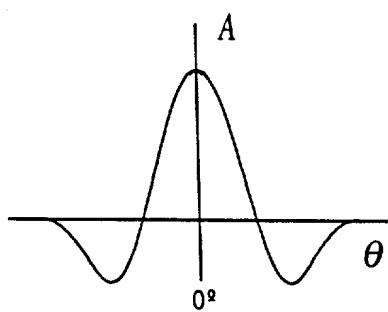


Fig. 6C

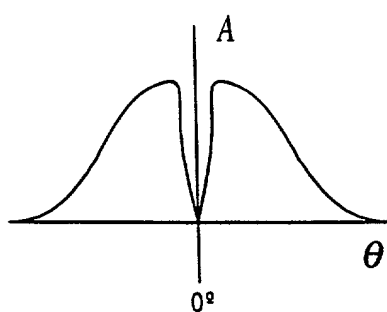


Fig. 6D

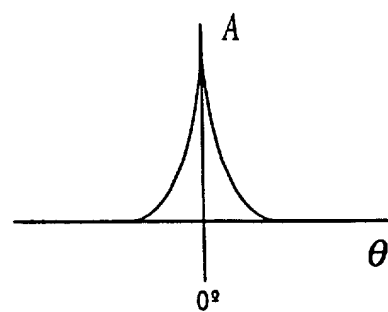


Fig. 6E

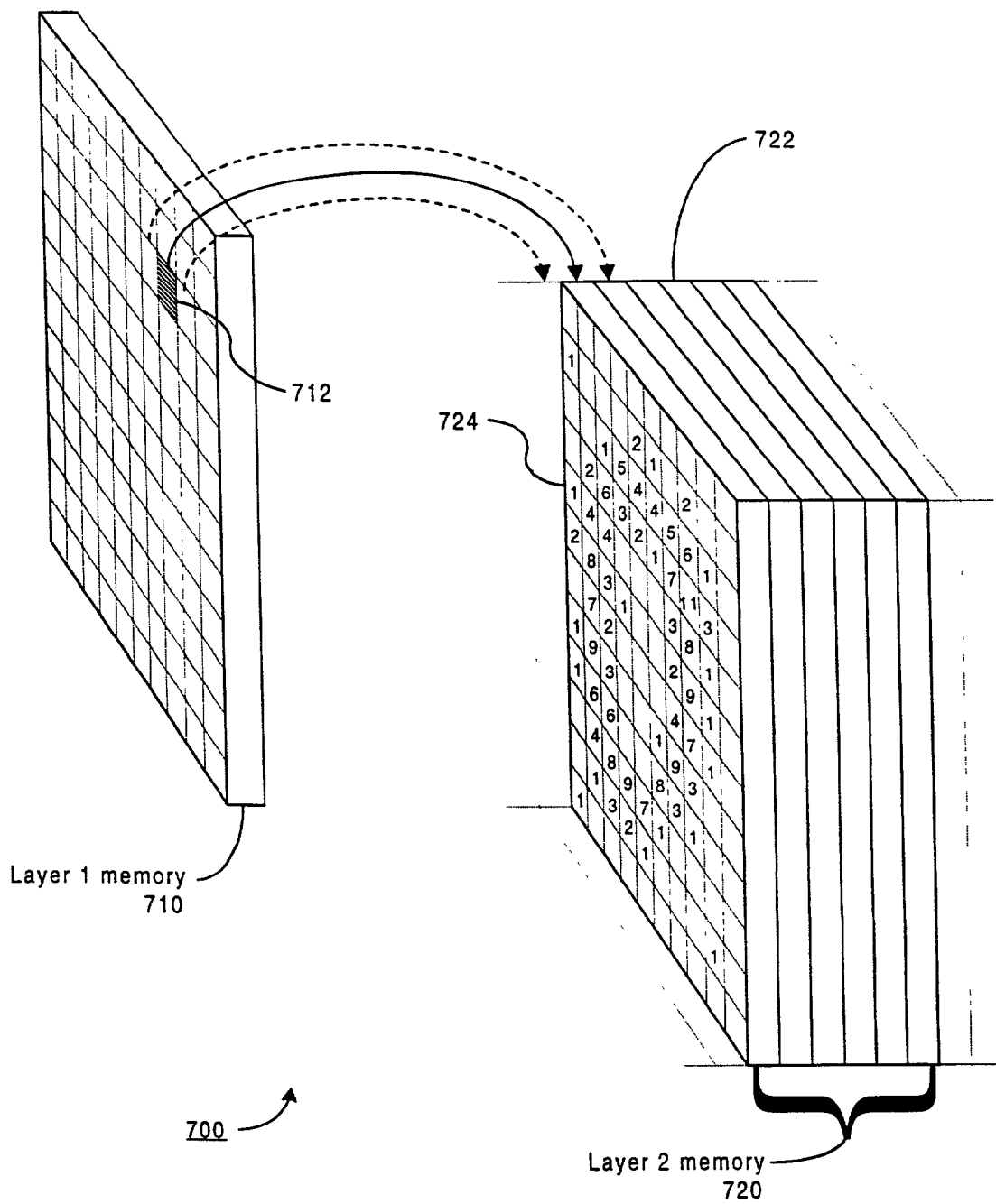


Fig. 7

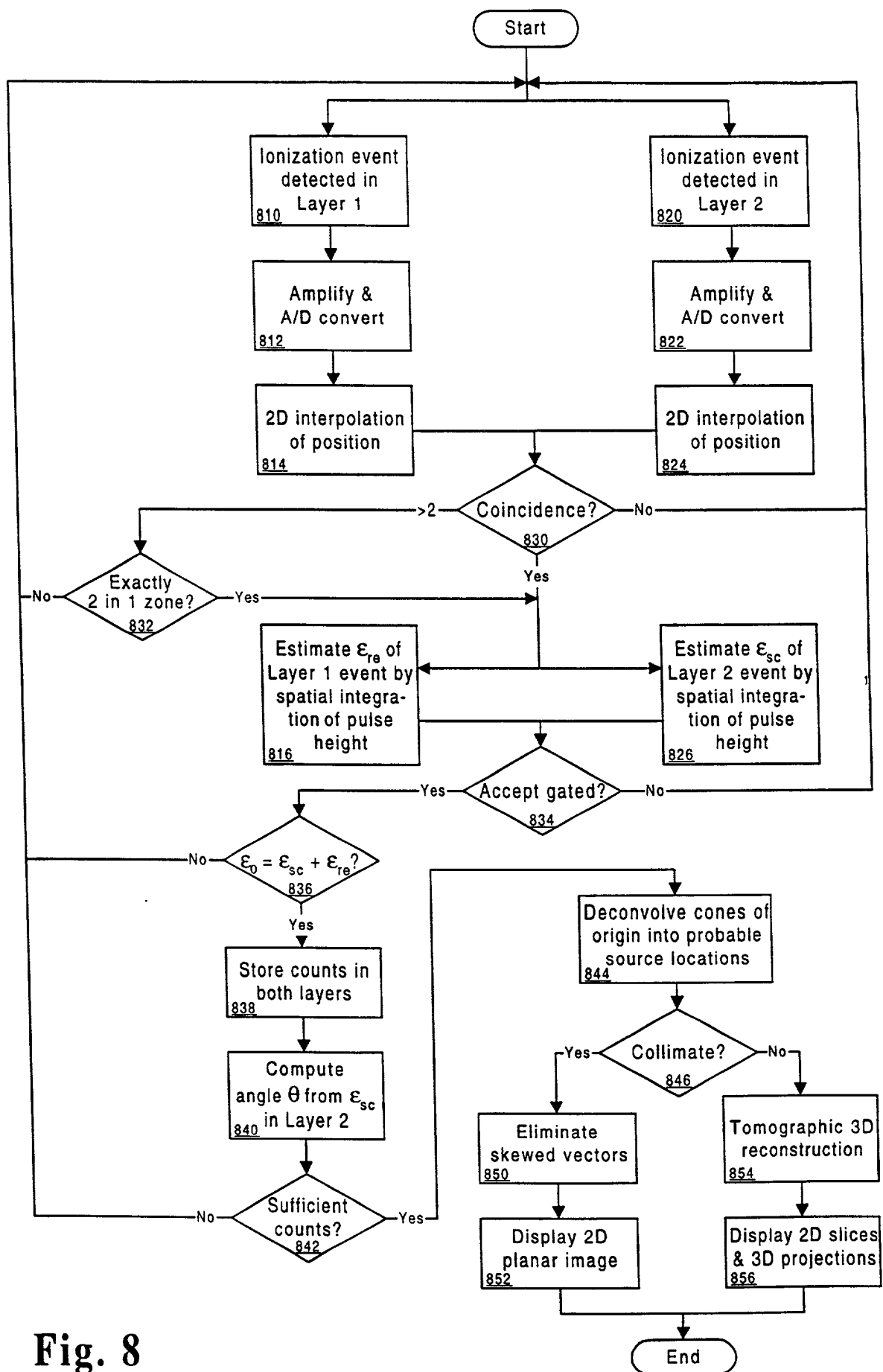


Fig. 8

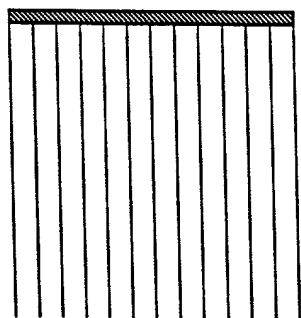


Fig. 9A

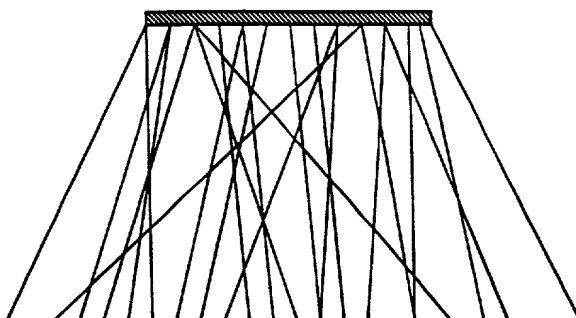


Fig. 9B

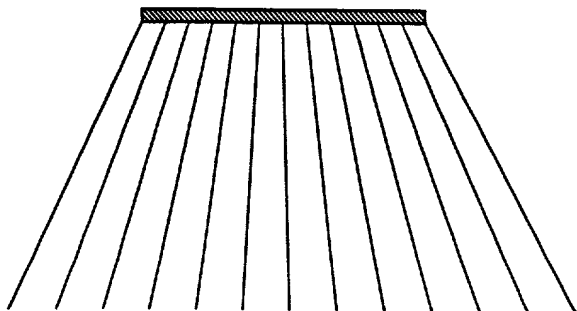


Fig. 9C

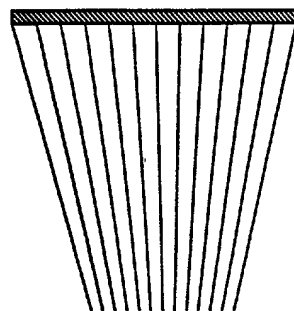


Fig. 9D

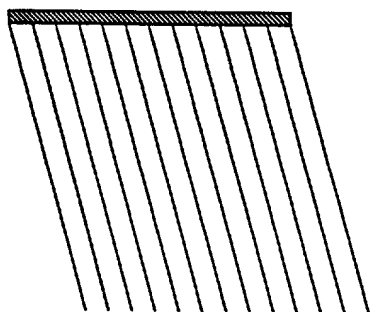


Fig. 9E

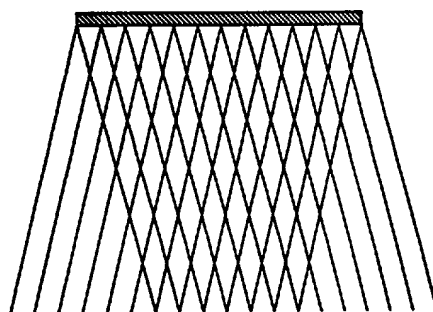


Fig. 9F